

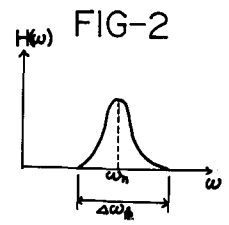
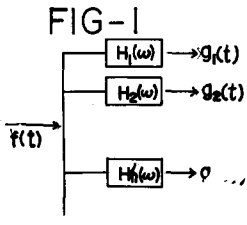
フィルター理論による地震動の解析

東北工業大学 正員 神山 真

1 まえびき 地震動のような不規則振動を解析する方法は種々あるが、従来の Fourier 解析、パワースペクトル解析などは、いわば一定解析区間での平均的様相のみを瞬時スペクトルの把握と云う突のさす点で甚だ不適当である。一方、地震学をはじめとする種々の構造物の地震研のため必要に応じて、理想化応答特性あるいは波動的的特性等の重要性が最近指摘されてい。周知のように、これらの特性は記録上、スペクトルの随時的変相としてあらわれる。従って、これらの特性を考察するに際しては従来の解析法は解析手段として強し不適当であるといえる。これを従来の解析法の欠点を補充し、且、スペクトルの随時的変相を忠実に定量的に捉えようとするものとして、フィルター理論を用いた解析法を SMAC 強震記録試験機を用いて以下にその大要を報告する。尚、本文の解析法を中心に述べることとし、その解析結果については若干の指摘を予えたいこととせよ、詳しい考察については機会を改めて報告する。

2 解析法

いま、Fig 1 のように信号 $f(t)$ を同時に並列に異なるシステム構成を有する帯域フィルターに入力するとす。例えりフィルター $H_n(\omega)$ を考えよ。システム構成 $H_n(\omega)$ を有する帯域フィルター (Fig 2) のインパルス応答 $h_n(t)$ は次のようになる。



$$h_n(t) = 2 h_e(t) \cdot \cos \omega_n t \quad \dots (1)$$

ここに、 $h_e(t)$; 帯域低域通過フィルターの一インパルス応答。

これから、出力 $g_n(t)$ は次のように表される。(但し、システムは線形で因果性を有するとす。)

$$g_n(t) = \int_{-\infty}^{\infty} f(\tau) \cdot h_n(t-\tau) d\tau \quad \dots (2)$$

ここで(2)式は(1)式から次のように変形される。

$$g_n(t) = 2 \cos \omega_n t \int_{-\infty}^{\infty} f(\tau) \cdot h_e(t-\tau) \cos \omega_n \tau d\tau + 2 \sin \omega_n t \int_{-\infty}^{\infty} f(\tau) \cdot h_e(t-\tau) \sin \omega_n \tau d\tau \quad \dots (3)$$

いま、関数 $f(\tau) \cdot h_e(t-\tau)$ の Fourier 変換を $F_e(\omega)$ とす。即ち、

$$F_e(\omega) = \int_{-\infty}^{\infty} f(\tau) \cdot h_e(t-\tau) e^{-i\omega\tau} d\tau = R_e(\omega) + i X(\omega) = A(\omega) \cdot e^{i\phi(\omega)} \quad \dots (4)$$

$$\text{ここに、} R_e(\omega) = \int_{-\infty}^{\infty} f(\tau) \cdot h_e(t-\tau) \cos \omega\tau d\tau \quad X(\omega) = -\int_{-\infty}^{\infty} f(\tau) \cdot h_e(t-\tau) \sin \omega\tau d\tau$$

$$A(\omega) = \sqrt{R_e^2(\omega) + X^2(\omega)} \quad \phi(\omega) = \tan^{-1}(X(\omega)/R_e(\omega))$$

(3)式、及び(4)式から $g_n(t)$ は次のように表わされる。

$$g_n(t) = 2 \cos \omega_n t \cdot R_e(\omega_n) - 2 \sin \omega_n t \cdot X(\omega_n) \\ = 2 \sqrt{R_e^2(\omega_n) + X^2(\omega_n)} \cos[\omega_n t + \phi_n] \quad \dots (5)$$

つまり、角振動数 ω_n を中心とする帯域フィルター $H_n(\omega)$ に任意信号 $f(t)$ を入力させたとき、その出力 $g_n(t)$ は(5)式のようになる。即ち、振動数 ω_n の帯域中心の角変調信号となる。一方、(5)式を視察すると、 $g_n(t)$ の包絡線は振動数 ω_n の $f(\tau) \cdot h_e(t-\tau)$ の Fourier スペクトルとなる。従って、 $f(t)$ のスペクトルの随時的変相を求め第一近似として、 $f(\tau) \cdot h_e(t-\tau)$ のスペクトルの随時的変相を上式で表わすことができる。

地方, 出力 $g_n(t)$ は別途に入システムの線型性を利用して次のようハ式あるこでござい。

いま, $f(t)$, $g_n(t)$ の Fourier 変換を $F(\omega)$, $G_n(\omega)$ とすど, 入システムの線型性より次式を得。

$$G_n(\omega) = F(\omega) \cdot H_n(\omega) \quad \text{但し, } G_n(\omega) = \int_{-\infty}^{\infty} g_n(t) e^{-i\omega t} dt, \quad F(\omega) = \int_{-\infty}^{\infty} f(t) e^{-i\omega t} dt \quad \dots\dots (6)$$

こより, 出力 $g_n(t)$ は $G_n(\omega)$ を Fourier 逆変換して次のようハ得す。

$$g_n(t) = \frac{1}{2\pi} \int_{-\infty}^{\infty} F(\omega) \cdot H_n(\omega) e^{i\omega t} d\omega \quad \dots\dots (7)$$

以上の, $g_n(t)$ を求む方法としては(6)式, あるいは convolution の方法と(7)式, あるいは Fourier 変換による方法とがある。こでは電算機における数値計算で FFT (高速 Fourier 変換) を利用して, 大巾に計算時間を短縮する利便性から(7)式の方法を採用した。問題は第一近似として $f(t) \cdot \delta(t-\tau)$ を原信号 $f(t)$ に如何に良好に近似するのがある。つまり, $\delta(t-\tau)$ の選定, 言い換えれば, 最適システム関数 $H_n(\omega)$ の型選定にある。

この意味での最適フィルタはシステム論から知らぬように Gauss 型フィルタである。こでは, $H_n(\omega) = \exp[-\alpha(\frac{\omega-\omega_0}{\omega_n})^2]$ α : パラメーター の Gauss 型フィルタを使用した。

3 解析結果 上述した解析法を代表例として 1968 年十勝沖地震の際, 青森湾湾で記録した SMAC 強震記録 $N-S$ 成分に対して試みるのが Fig. 3 である。こは結果を最大振幅 50 に正規化し, 電算機出力させたものにコンターを付したものである。こより, スペクトルの臨時的変相は定量的に一目瞭然である。在る解析法として, 系 SMAC 記録 20 秒と 30 秒を Fourier 解析して得たスペクトルを Fig. 4 に示す。Fig. 4 のスペクトルは 10 秒間の平均的振幅のため, 結果として比較的短周期の周期が顕著にマスクされてい。一方, Fig. 3 の解析結果では刻時的なスペクトルが明確なため, 最大加速度が存在する 21 秒付近で 0.2~0.6 秒の比較的短周期の卓越性が顕著であることが知らる。断面スペクトルとして Fig. 3 の 21 秒付近の断面をとり示したのが Fig. 5 である。(以下, 臨時スペクトルと呼ぶ) 同様に, 同一地点で記録した常時振動のスペクトルを Fig. 6 に示す。こより, 常時振動と強震動との流動性状の相因を調べた際でも臨時スペクトルを考慮した考察の重要であることが首肯される。このことは最大加速度が記録されてい結果では SMAC 記録は弾性的波動の振幅が狭く, その故, 周期的短周期とともに弾性的波動が移行するこを別途の検証にもなる。総じて, Fig. 3 の注目されることは一般に指摘されるように臨時的なスペクトルが長周期側に伸びていことである。一方, 0.2~0.3 秒の短周期成分に着目すると, 20 秒付近で卓越性を示した後, 消えし, 再度, 30 秒付近で明確な卓越性が顕示される。発震機構に因連した多発性, あるいは波動論的原因による位相の変化等, 原因は種々指摘できるが, こでは議論は控える。こし, いずれにしても何らかの擾乱の再現的発生を意味することは争点である。こでは特に地盤の弾性的応答と弾性的応答, 様相の差違を意味する 21 秒付近, 30 秒付近の臨時スペクトルを比較した。こを示し

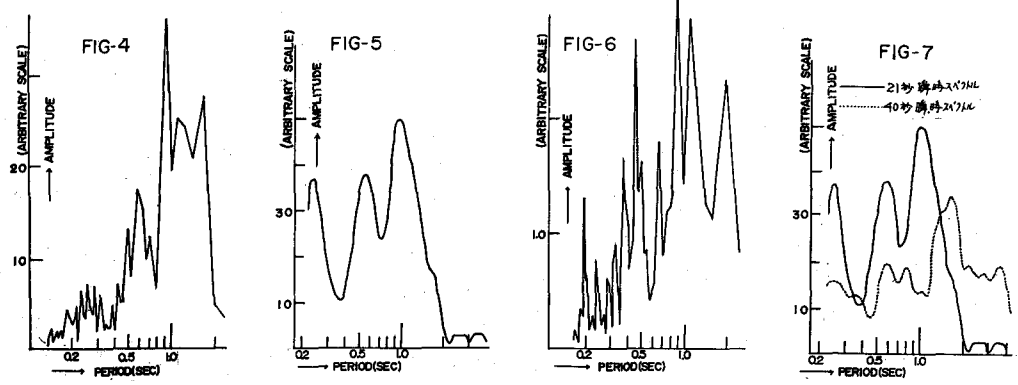
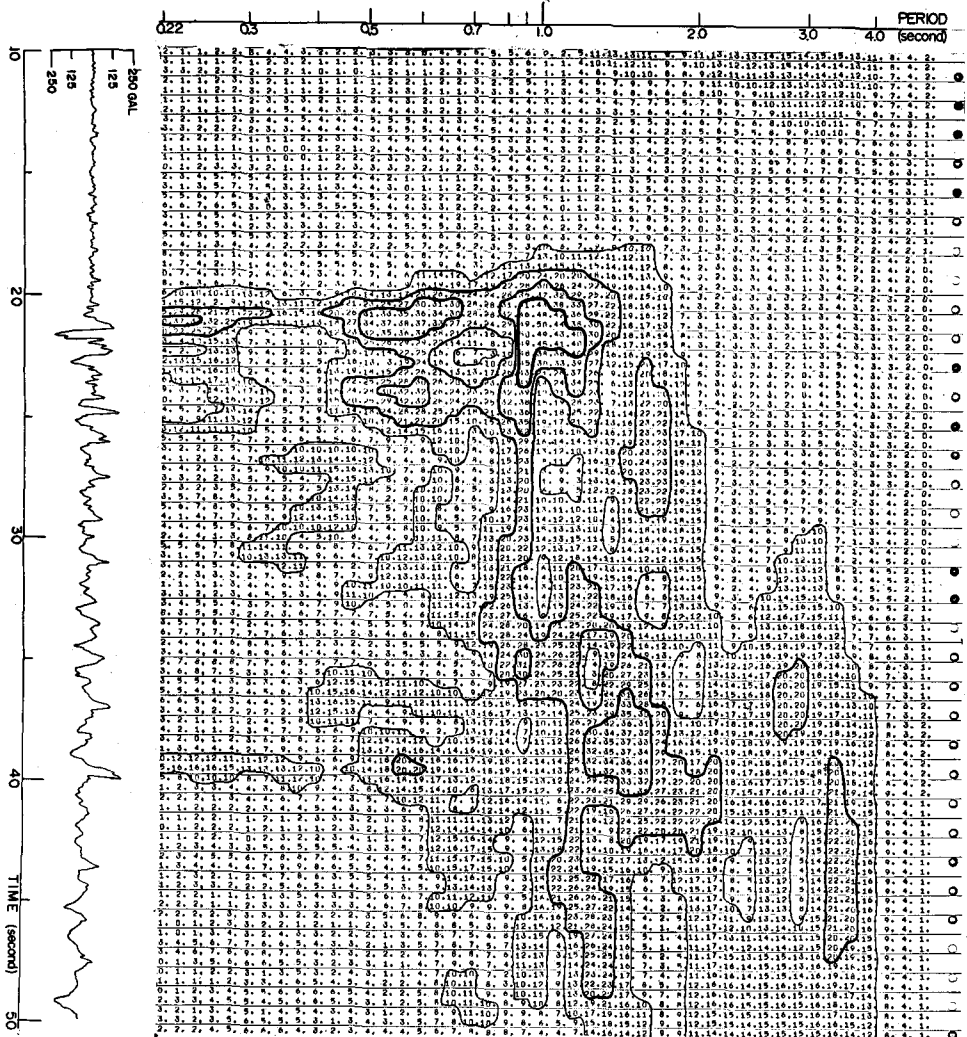


FIG-3



たのが Fig 7 である。(常時振動との相度から 2 秒付近は弾性的振動の特性が強いと考えらる) Fig 7 の 5 周³⁾の振幅より弾塑性応答への変へ共減率⁴⁾の下がり、全般にフラットなスペクトル構成になることが証される。また、岩崎³⁾によれば、 $\sigma - \tau$ のみ依存性を考慮した弾塑性応答では弾性応答に比し、約 1/10% 卓越周期の長くなることとされているが、Fig 7 の結果によれば、ここで考えている地盤、物性を基肉に付しても、ほぼ同じ率で卓越周期の長くなることは興味深いことである。

4 あとがき

数種の肉から解析法の大要と、若干の考察を述べたのとどろくが、その他本文での解析法により多くの有意な知見を得ることが可能である。即ち、非線形振動論的問題、発生機構の問題、弾塑性応答の問題、地震波伝達経路スペクトルの問題等である。これらについては別の機会に改めて報告することとしたい。

(参考文献)

- 1) 柳山, 地; 「SHAC 非線形振動と常時振動特性との相度について」 第 8 回土木工学研究発表会
- 2) 岡本, 地; 「地盤の非線形振動に肉する研究」 第 1 回日本地震工学シンポジウム
- 3) 岩崎, 地; 「洋境地盤の地震応答特性及び震度分布について」 土木学会 第 26 回学術講演会 第 3 部